

画像解析・機械学習を用いた 熊本地震における 建物被害判別手法開発

防災科学技術研究所

内藤昌平

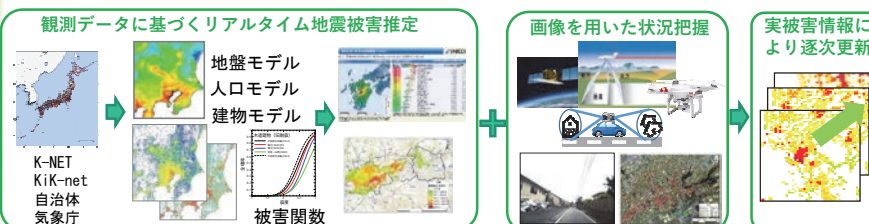
※本研究は総合科学技術・イノベーション会議の戦略的イノベーション創造プログラム(SIP)「レジリエントな防災・減災強化」によって実施された。
※航空写真撮影、目視判読、画像解析に関して株式会社パスコ様、機械学習手法の開発に関してみずほ情報総研株式会社様にご協力いただいた。

2018/04/14
NU-NIED 研究交流会

1

1. 研究の背景と目的

- 災害発生直後に被害状況を迅速に把握することは災害対応の上で重要。
- SIP5で開発中のリアルタイム被害推定・状況把握システムにより全国250mメッシュの被害推定が可能になりつつある。しかし推定結果には不確実性が伴うため、合理的な意思決定のためには巡回や目視等の正確な情報で補完することが必要。
- 航空機等を用いることで広域にわたる被災画像を迅速に取得可能である。一方で被害範囲が甚大・広域であるほど画像判読作業には多数の人手と時間を要する。
- 画像解析、機械学習手法を用いることにより画像から被害を自動判別し、より迅速な状況把握が可能になると考えられる。本研究では様々な手段によって取得された画像から被害を抽出し、リアルタイム被害推定情報を補完する状況把握技術の開発を目的とする。



目次

- 研究の背景と目的
- 航空写真目視判読にもとづく建物被害調査および訓練データの構築
- 画像解析による建物被害抽出
 - DSM差分
 - ブルーシート抽出
 - テクスチャ解析
- 機械学習による建物被害判別
 - 局所特徴量およびSVMを用いた手法
 - 深層学習を用いた手法
 - 判別結果の比較
 - 深層学習による広域判別試行
- 今後の研究計画

2

航空写真による地震被害判別のタイムライン



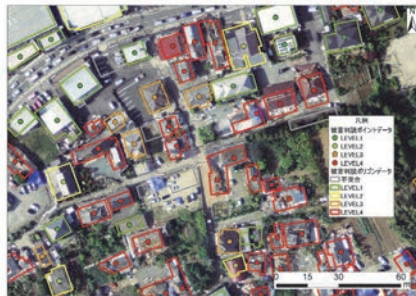
2. 航空写真目視判読にもとづく建物被害調査 および訓練データの構築

This map shows the northern part of the Nagaoka River basin, which is located in the northern part of Niigata Prefecture, Japan. The river flows generally from west to east, eventually emptying into the Sea of Japan. The map highlights several towns and villages along the river's course, including Niigata City North Ward, Niigata City West Ward, Niigata City Central Ward, Niigata City East Ward, Niigata City South Ward, Niigata City Ueda City, Niigata City Yonezawa City, Niigata City Minamiyonezawa City, Niigata City Tsuchiyu Town, Niigata City Nagaoka Town, Niigata City Higashinagaoka Town, Niigata City Minamihagaoka Town, and Niigata City Nagaoka Village. The map also includes a coordinate grid and a scale bar indicating 40 km.

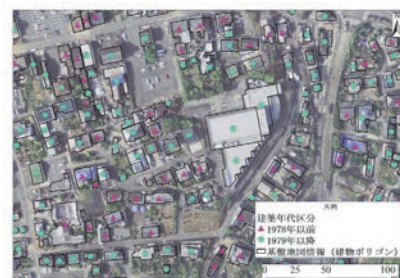
訓練データ作成に利用した航空写真の撮影範囲

画像種別	方向	撮影日	撮影機関	解像度	枚数
航空オルソ画像	垂直	2016年4月16～ 20日	国土地理院	20cm	1,228
航空オルソ画像	垂直	2016年4月19日	株式会社パスコ	20cm	198
航空オルソ画像	垂直	2016年4月19日	株式会社パスコ	20cm	447

建物被害判読結果の入力方法



データの結合



国土画像情報（1974～1978年撮影）

オルソ画像（本震直後）

ArcGISを用いて航空写真上の被害建物の位置に被害レベルを区分したポイントデータを作成後、国土地理院のポリゴンと突合した。

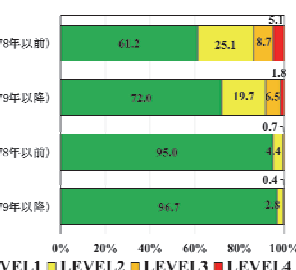
また、建物の形状から木造／非木造を区分し、新旧の航空写真を用いて建物の建築年代を1979年以前／以降に区分した。

航空写真による建物被害判読基準

- ・使用した画像データ（撮影期間：2016年4月16～20日）
対象地域全域：垂直オルソ画像（20cm解像度）
一部地域：斜め画像（20cm解像度）、ヘリ画像（5cm解像度）
航空写真1枚分：DSM高さ差分データ
 - ・使用したGISデータ
国土地理院が公開する「基盤地図情報（建築物）」（2014～2016年整備）

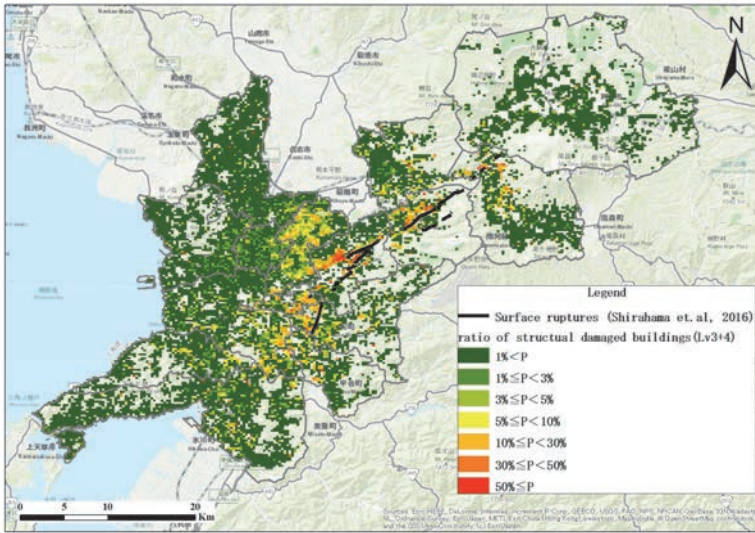
被害区分	(航空写真上の特徴) (いずれかを満たす)	パターンチャート※との対応 ※岡田・高井(1999)	画像の例	
LEVEL1 (無被害)	被害なし	D0		
LEVEL2 (被害小)	屋根瓦の一部が崩落している ブルーシート面積が屋根の半分以下	D1		
LEVEL3 (被害中)	屋根瓦の大部分が崩落している ブルーシート面積が屋根の半分以上	D2, D3		
LEVEL4 (被害大)	建物が傾斜している, ずれ・ねじれ が確認できる DSM高さが本震前後で3m以上変化 層破壊もしくは倒壊している	D4, D5		

建物被害判読データの突合結果



8

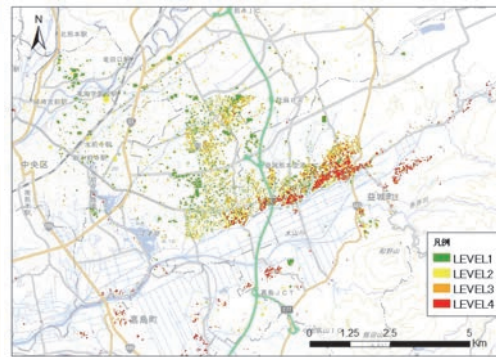
LEVEL3(被害中)+LEVEL4(被害大)建物の割合 (250mメッシュ毎)



合計約32万棟の建物について被害区分を行ったGISデータを作成した。目視判読作業には10名の技術者により約42日間を要した。判読速度は1人1日あたり平均1,000棟程度である。

9

機械学習用訓練データの構築

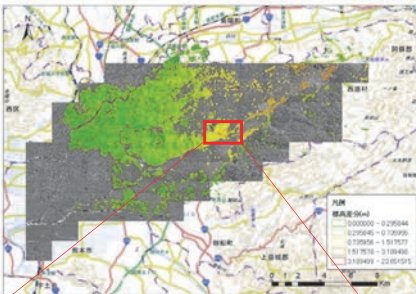


垂直オルソ画像および被害判読GISデータを用いて被害レベル1～4が概ね均等に含まれるように合計10,603棟分の訓練用画像を抽出した。また、建物領域毎の被害区分認識のために建物ポリゴンを使って色分けしたマスク画像を作成した。

10

3. 画像解析による建物被害抽出

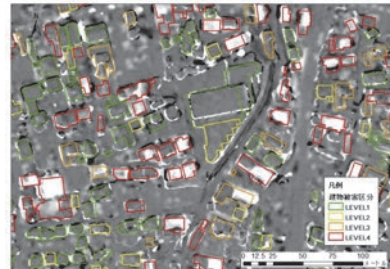
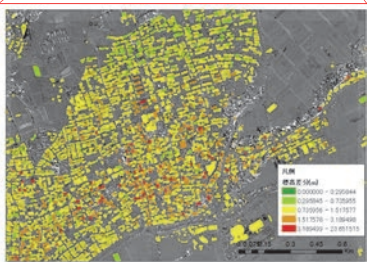
3-1. DSM差分



4/15（前震直後）の航空写真から作成したDSMと4/20（本震直後）の航空写真から作成したDSMとの差分を作成した。

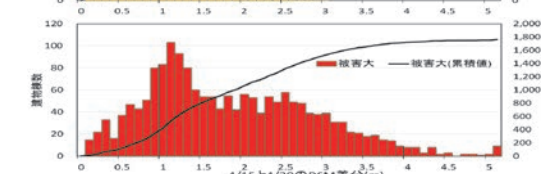
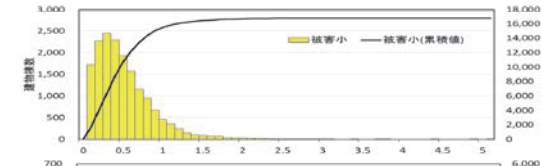
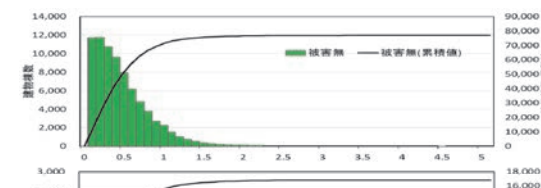


建物ポリゴン毎に標高差分データの平均値を計算



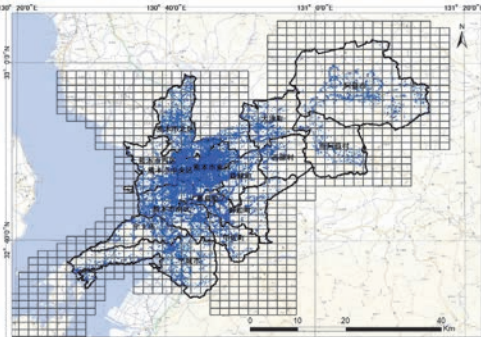
11

前震後と本震後のDSM差分と建物被害レベルとの関係

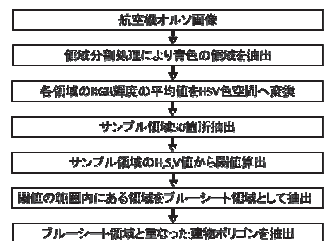


12

3-2. ブルーシート抽出

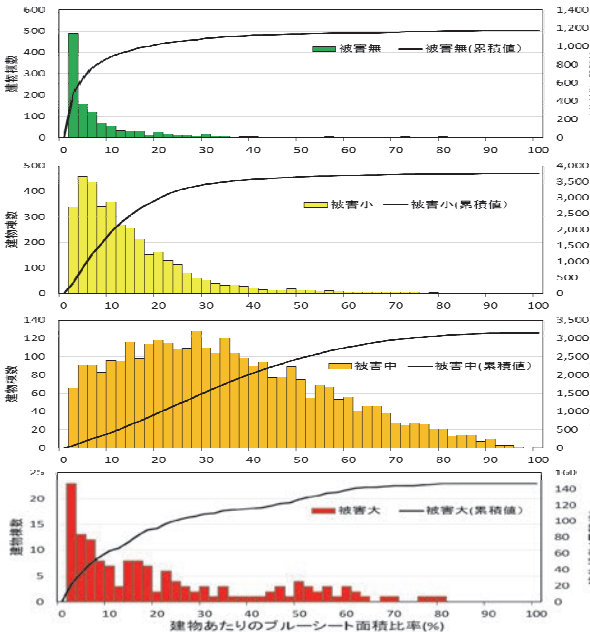


4/20に撮影された画像を用いて領域分割を行い、HSV色空間での閾値設定によりブルーシート領域を抽出した。



(本田ほか, 2016) 13

建物に対するブルーシート部分の面積比と被害レベルとの関係



LEVEL1

データ数 : 1,177

平均値 : 8.96

中央値 : 3.13

標準偏差 : 15.0

LEVEL2

データ数 : 3,759

平均値 : 13.5

中央値 : 9.72

標準偏差 : 13.2

LEVEL3

データ数 : 3,151

平均値 : 33.4

中央値 : 30.6

標準偏差 : 20.8

LEVEL4

データ数 : 147

平均値 : 20.7

中央値 : 13.3

標準偏差 : 20.4

14

3-3. テクスチャ解析

オリジナル画像のR, G, Bの平均値を用いて1バンド画像へ変換



8近傍ラプラシアンフィルタによりエッジ部分を強調する



8ビット符号なし変数 (0~255) への変換

$$\begin{bmatrix} 12 & 100 & 60 \\ 52 & 255 & 88 \\ 13 & 2 & 20 \end{bmatrix}$$

$$\begin{bmatrix} 1 & 1 & 1 \\ 1 & -8 & 1 \\ 1 & 1 & 1 \end{bmatrix}$$

$$\begin{bmatrix} 12 & 100 & 60 \\ 52 & -2040 & 88 \\ 13 & 2 & 20 \end{bmatrix} \Rightarrow \begin{bmatrix} & & \\ & -1693 & \\ & & \end{bmatrix}$$

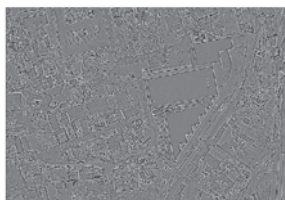
元画像の各画素についてフィルタ係数をかけ総和をとるということを繰り返す



オリジナル画像



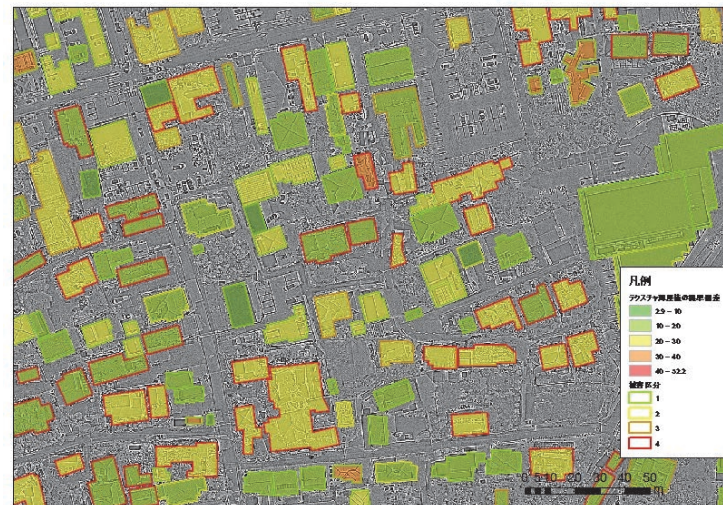
1バンド化



ラプラスアンフィルタ適用

15

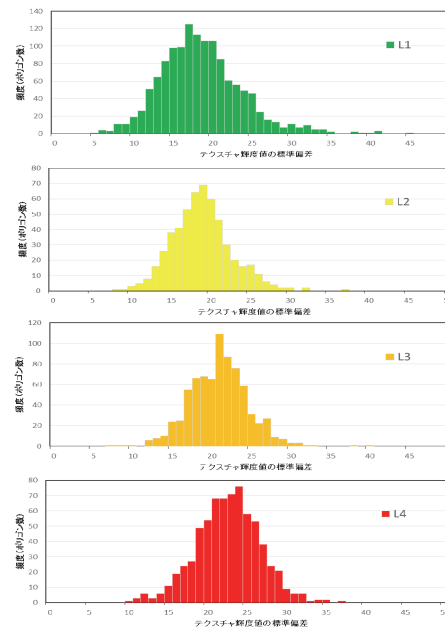
建物ポリゴン毎にテクスチャ指標を計算



建物ポリゴン毎にテクスチャ指標を計算し、被害区分との関係を調査した。航空写真1枚分 (1.5×2km) について結果を集計した。

16

テクスチャ指標（標準偏差）と被害レベルとの関係



LEVEL1

データ数 : 1,327
平均値 : 18.1
中央値:17.6
標準偏差 : 5.18

LEVEL2

データ数 : 542
平均値 : 18.4
中央値:18.2
標準偏差:3.80

LEVEL3

データ数 : 768
平均値 : 20.4
中央値:20.5
標準偏差 : 3.72

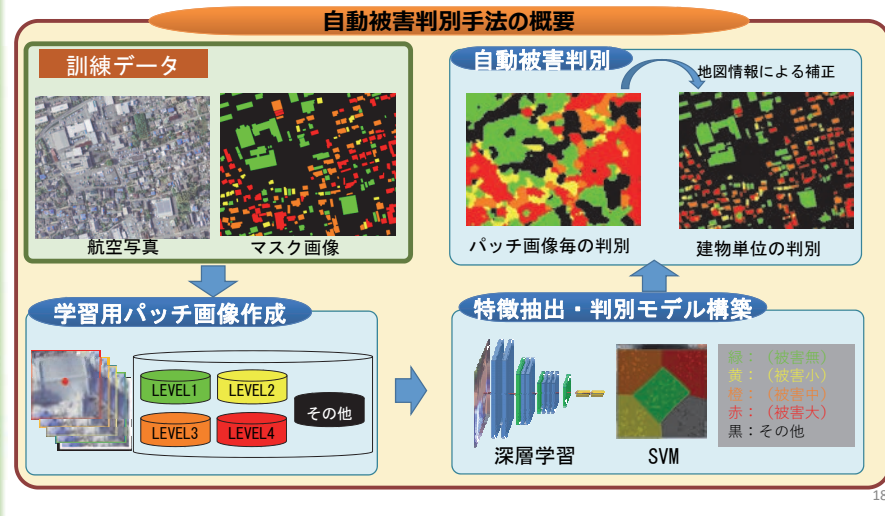
LEVEL4

データ数 : 707
平均値 : 22.1
中央値:22.1
標準偏差:4.04

17

4. 機械学習による建物被害判別

機械学習は画像から局所特徴量を計算しSVMにより分類する手法と、深層学習を用いた手法の2通り開発した。
いずれも航空写真および被害を区分したマスク画像を用いて学習用パッチを切り出し、パッチ画像毎の判別を基本とする。



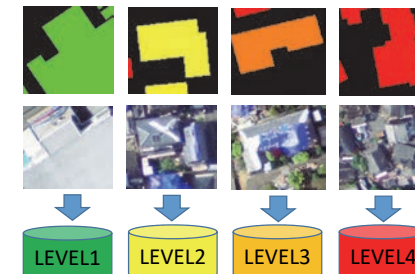
18

学習用パッチ画像群の作成手順

- ①航空写真画像とマスク画像をそれぞれパッチサイズ 80×80 [pixels]、走査幅 20 [pixel] でラスタスキヤン



- ②各パッチに30%以上建物が含まれる場合、パッチ内の面積比率が最大の被害区分の学習データとする



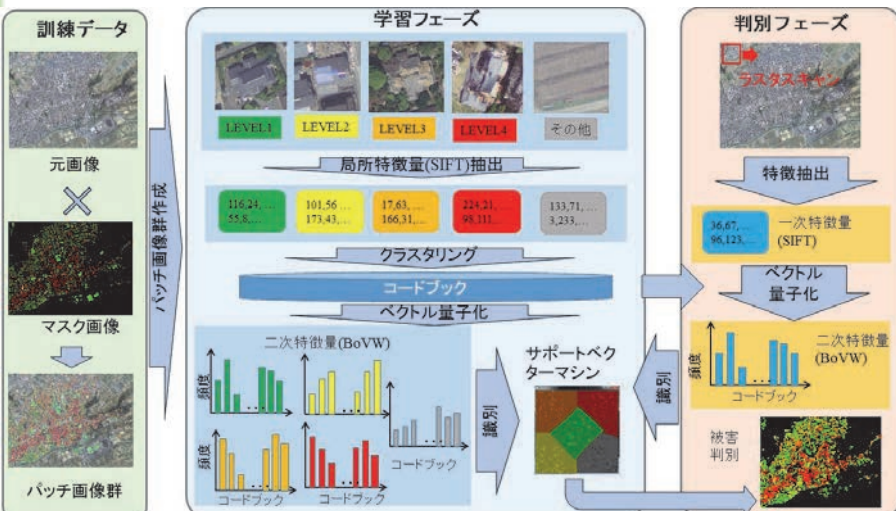
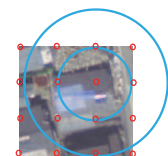
- ③パッチ内、および周辺40 [pixel]に建物が含まれない場合、その他の学習データとする。



19

4-1. 局所特徴量およびSVMを用いた手法

パッチ画像から抽出した特徴点毎に異なる2つの半径のSIFT特徴量 (128×2 像素) を計算することで近傍の情報を統合した特徴抽出を行う。次に、各クラスにおいて計算された特徴ベクトルの集合をクラスタリングにより分類したコードブックの出現頻度をクラスごとに集計し次元削減を行う。クラスごとの識別境界をSVMで定めることにより学習を行う。



4-3. 判別結果の比較

益城町役場付近の航空写真1枚 ($1.5 \times 2\text{km}$) 全域を用いた機械学習による判別結果の比較



オリジナル画像



目視判読結果

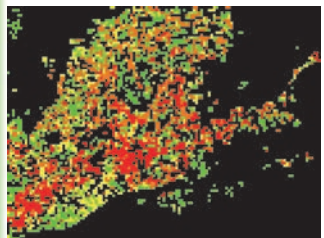
建物数: 約3,300棟
それぞれの手法で航空写真から取得したパッチ画像を用いた学習を行いパラメータチューニングを実施した結果、10分割交差検証法による予測精度は以下のようになつた。

SVMによる予測精度

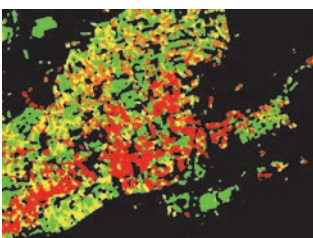
項目	予測精度
教師データ	98.9%
交差検証法	75.0%

深層学習による予測精度

項目	予測精度
教師データ	99.9%
交差検証法	86.4%



SVMによる判別結果

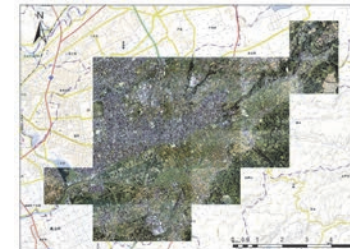


深層学習による判別結果

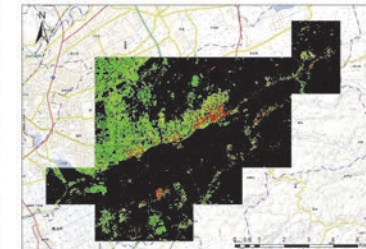
25

4-4. 深層学習による広域判別試行

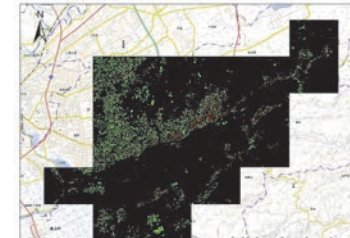
深層学習による判別モデルを用いて20枚の航空写真（建物数29,379棟）の建物被害をパッチ画像単位で自動判別した。



航空写真



深層学習による判別



目視判読



パッチ単位での予測精度（航空写真20枚）

項目	予測精度
教師データ	99.6%
交差検証法	85.4%

航空写真20枚の判別時間の比較

深層学習(GPU使用)	目視判読
約120分 (約5~6分／枚)	約30人日 (1人日で約1,000棟)

26

深層学習による予測精度(クラス毎)

航空写真20枚を使用した判別モデル（教師データ予測）

正解判別	判別結果				合計数	精度	
	非建物	レベル1 (被害なし)	レベル2 (被害小)	レベル3 (被害中)	レベル4 (被害大)		
非建物	22488	7	0	0	4	22500	99.85111111
レベル1 (被害なし)	1	22498	1	0	0	22500	99.88111111
レベル2 (被害小)	0	8	22483	3	6	22500	99.92444444
レベル3 (被害中)	0	0	4	22495	1	22500	99.97777778
レベル4 (被害大)	0	0	1	22496	4	22500	99.97777778
合計数	22513	22488	22502	22506	112500		
精度	99.83333333	99.73333333	99.96888889	99.96124242			

航空写真1枚を使用した判別モデル（交差検証法）

正解判別	判別結果				合計数	精度	
	非建物	レベル1 (被害なし)	レベル2 (被害小)	レベル3 (被害中)	レベル4 (被害大)		
非建物	2409	64	7	1	23	2500	96.36
レベル1 (被害なし)	32	209	383	1	61	2500	80.92
レベル2 (被害小)	9	195	2137	62	97	2500	85.48
レベル3 (被害中)	2	1	95	2310	92	2500	92.24
レベル4 (被害大)	28	53	117	132	2170	2500	86.8
合計数	2311	22471	2506	22506	12500		
精度	87.3488773	77.7935271	92.1747717	88.5352813			

航空写真20枚を使用した判別モデル（航空写真1枚ずつを学習に使わないようにして交差検証）

正解判別	判別結果				合計数	精度	
	非建物	レベル1 (被害なし)	レベル2 (被害小)	レベル3 (被害中)	レベル4 (被害大)		
非建物	223	17681	3603	54	187	21728	81.2822165
レベル1 (被害なし)	5	742	454	345	104	3650	67.2328787
レベル2 (被害小)	2	10	302	741	91	1146	64.8598859
レベル3 (被害中)	7	13	60	75	298	451	85.6319291
レベル4 (被害大)	18428	6410	1215	678	26975		
合計数	85.8492578	38.2309330	80.9876543	43.6578171			
精度	8640	10000	864				

27

5. 今後の研究計画

これまでの取り組み

熊本地震本震後の垂直オルソ画像を使用して建物被害自動判別手法を開発した。

課題

訓練データの偏り（汎用性）

被害の定量化（棟数集計）

- 作成した訓練データは熊本地震本震後の航空写真のみから作成しており偏りがある。
- 開発したアルゴリズムは建物被害領域の抽出には活用可能だが、自動被害判別結果を災害対応へ活用するためには棟数を集計し、被害を定量化する手法の開発が必要である。

今後、深層学習を用いた建物被害自動判別手法開発の汎化性能向上や自動被害判別結果の活用のため以下の開発を行う。

被害自動判別作成手法の汎化性能向上のための開発

- 他の被害地図画像や異種プラットフォームを用いた訓練データ作成および判別モデル開発
- 熊本地震前後の画像を用いた差分解析、広域画像解析
- 画像解析および深層学習の統合手法開発

被害自動判別結果の活用のための定量化手法開発

- 被害区分別棟数集計
- メッシュデータ作成

